

ارتباط سطح مقاومت به بیماری آتشک (*Erwinia amylovora*) با تنش اکسیداتیو کلروپلاستی و میتوکندریایی در دو رقم گلابی هاروسوئیت و بارتلت

Association of Resistance Level to the Fire Blight (*Erwinia amylovora*) Disease with Chloroplastic and Mitochondrial Oxidative Stress in Two Pear Cultivars Harrow Sweet and Bartlett

محدثه سیدی<sup>۱</sup> و حمید عبداللهی<sup>۲\*</sup>

۱- دانشجوی کارشناسی ارشد، بخش بیوتکنولوژی کشاورزی، واحد علوم تحقیقات، دانشگاه آزاد اسلامی، تهران، ایران.  
۲- دانشیار، پژوهشکده میوه های معتدله و سردسیری، موسسه تحقیقات علوم باغبانی، سازمان تحقیقات، آموزش و ترویج کشاورزی، کرج، ایران.

تاریخ دریافت: ۱۴۰۰/۱۰/۱۵ تاریخ پذیرش: ۱۴۰۰/۱۲/۲۶

چکیده

سیدی، م. و عبداللهی، ح. ۱۴۰۱. ارتباط سطح مقاومت به بیماری آتشک (*Erwinia amylovora*) با تنش اکسیداتیو کلروپلاستی و میتوکندریایی در دو رقم گلابی هاروسوئیت و بارتلت. مجله نهال و بذر ۳۸: ۹۰-۷۱.

تنش اکسیداتیو ناشی از باکتری بیماری آتشک در گیاه میزبان شامل دو تنش اکسیداتیو کلروپلاستی و میتوکندریایی است و این تنش در نهایت منجر به بروز نکروز در بافت ها می شود. این پژوهش با هدف مقایسه سهم دو اندامک کلروپلاست و میتوکندری در ایجاد نکروز بیماری با استفاده از بازدارنده زنجیره انتقال الکترون کلروپلاستی گلوآرآلدئید و میتوکندریایی روتنون در دو رقم گلابی (بارتلت و هاروسوئیت) انجام شد. با توجه به تاثیر نکروززایی دو بازدارنده فوق، در آزمایش های مقدماتی غلظت بهینه گلوآرآلدئید و روتنون در شرایط درون شیشه تعیین و با توجه به تاثیر یکسان غلظت های ۵ و ۱۰ میلی گرم بر لیتر دو بازدارنده، این غلظت ها برای ارزیابی کشت توام باکتری و میزبان مورد استفاده قرار گرفتند. در بررسی اثر متقابل باکتری با ارقام گلابی، ظهور نکروز در رقم حساس بارتلت و متحمل هاروسوئیت به ترتیب ۴۸ و ۷۲ ساعت پس از آلوده سازی مشاهده شد. لیکن استفاده از بازدارنده روتنون و گلوآرآلدئید در هر دو غلظت ۵ و ۱۰ میلی گرم بر لیتر، تاخیر در زمان ظهور اولین علائم و کاهش سرعت پیشرفت نکروز را در هر دو رقم به همراه داشت. در رقم هاروسوئیت، تاثیر بیشتر بازدارنده گلوآرآلدئید در غلظت ۱۰ میلی گرم بر لیتر دیده شد. تاثیر بیشتر بازدارنده کلروپلاستی گلوآرآلدئید در شدت بازدارندگی تقریباً یکسان با بازدارنده میتوکندریایی روتنون بیانگر احتمال تاثیر بیشتر زنجیره انتقال الکترون کلروپلاستی در تنش اکسیداتیو حاصل از بیماری آتشک در میزبان بود. علاوه بر این، در رقم حساس بارتلت در شرایط استفاده از بازدارنده میتوکندریایی میزان نزدیکی سرعت پیشرفت علائم نکروز نسبت به شرایط استفاده از بازدارنده کلروپلاستی بیشتر بود که می تواند دلیلی بر نقش موثر تر کلروپلاست در تحمل به آتشک در رقم متحمل هاروسوئیت باشد.

واژه های کلیدی: گلابی، نکروز، اندامک، گلوآرآلدئید، روتنون، زنجیره انتقال الکترون.

## مقدمه

هزینه‌های گزینش را به‌طور قابل توجهی کاهش می‌دهد. نشانگرهای مولکولی در مطالعات متعددی برای گزینش نتاج دورگ درختان میوه دانه‌دار که دارای قدرت تحمل یا مقاومت به بیماری آتشک باشند، مورد استفاده قرار گرفته است.

از نشانگرهای مولکولی در تحقیقات متعددی در رابطه با گزینش نتاج دورگ درختان میوه دانه‌دار توسط خان و همکاران (Khan *et al.*, 2007) در رابطه با سیب، گلابی گونه یوزوری (*P. ussuriensis*) توسط بوکزازین و همکاران (Bokszczanin *et al.*, 2009)، در رابطه با سیب رقم اورست (Everste) و کلون ۸۲۱ از گونه سیب *Malus floribunda* توسط دورل و همکاران (Durel *et al.*, 2009)، در رابطه با ارقام سیب فیستا (Fiesta)، دیسکاوری (Discovery) و پرما (Prima) توسط کالنگه و همکاران (Calenge *et al.*, 2005)، در رابطه با گلابی گونه *P. communis* توسط دوندینی و همکاران (Dondini *et al.*, 2004) و در رابطه با ارقام و ژنوتیپ‌های گلابی بومی ایران توسط عرفانی و همکاران (Erfani *et al.*, 2013) استفاده شده است.

بررسی‌های اخیر نشان می‌دهد با توجه به ماهیت کمی تحمل به بیماری آتشک، استفاده از نشانگرهای مولکولی وابسته به DNA به خوبی قادر به شناسایی ارقام و ژنوتیپ‌های مقاوم و یا متحمل نبوده و به نظر می‌رسد با توجه به منشاء مقاومت در گونه‌های شرقی گلابی

بیماری آتشک (Fire blight) با عامل باکتریایی *Erwinia amylovora* مهمترین بیماری درختان میوه دانه‌دار محسوب شده (Oh and Beer, 2005) که هر ساله سبب بروز خسارات فراوانی بر روی درختان این زیرخانواده و به‌ویژه دو درخت به (Cydonia oblonga Mill.) و گلابی معمولی (*Pyrus communis* L.) در کشورهای مختلف جهان از جمله ایران می‌شود (Abdollahi, 2010; Steiner, 2000). در میان راهکارهای مختلف کنترل و مدیریت بیماری آتشک، استفاده از ارقام مقاوم و یا متحمل به بیماری، بی‌تردید موثرترین و اقتصادی‌ترین راهکار محسوب می‌شود (van der Zwet and Keil, 1979).

در دهه‌های گذشته، تحقیقات متعددی در زمینه ارزیابی مقاومت و گزینش ارقام برتر و دارای تحمل بالا به بیماری آتشک در درختان سیب (Aldwinckle and Preczewski, 1976; Tsiantos and Psallidas, 2004) گلابی (Oitto *et al.*, 1970; Tsiantos and Psallidas, 2004; Erfani *et al.*, 2013) و به (Bell *et al.*, 2004) انجام و نسبت به معرفی و ارائه ارقام و ژنوتیپ‌های مقاوم‌تر این درختان اقدام شده است. گزینش ارقام و ژنوتیپ‌های مقاوم به بیماری آتشک با استفاده از نشانگرهای مولکولی و بیوشیمیایی ضمن کوتاه کردن مسیر طولانی تکثیر و ارزیابی مقاومت ارقام،

(2002, 2001, *al.*) بر این اساس هر تفاوتی در منشاء، میزان، شدت و تعادل گونه‌های مختلف اکسیژن فعال به ویژه سه گونه اصلی درگیر در تنش اکسیداتیو بیماری در میزبان شامل سوپراکسید ( $O_2^{\bullet-}$ )، پراکسید هیدروژن ( $H_2O_2$ ) و هیدروکسیل ( $OH^{\bullet}$ ) (Azarabadi *et al.*, 2014; Abdollahi and Salehi, 2017) می‌تواند به نحو مطلوب تری بیانگر چگونگی ساختارهای حساسیت و یا مقاومت به بیماری باشد. بررسی‌ها بیانگر منشاء تولید گونه‌های مختلف اکسیژن فعال در کلیه تنش‌های اکسیداتیو در سه اندامک پراکسیزوم‌ها، میتوکندری‌ها و کلروپلاست‌ها در سلول‌های گیاهی می‌باشد (Bhattacharjee, 2011). بر اساس گزارش‌های سایر پژوهشگران دو اندامک میتوکندری (Xie and Chen, 2000; Azarabdi *et al.*, 2016) و کلروپلاست (Abdollahi *et al.*, 2015) به عنوان اصلی‌ترین و کلیدی‌ترین ساختارهای درگیر در تنش اکسیداتیو عامل بیماری آتشک در اثر متقابل سازگار با میزبان و اثر متقابل غیرسازگار با گیاهان غیرمیزبان می‌باشند که منجر به واکنش فوق حساسیت می‌شوند. عبداللهی و صالحی (Abdollahi and Salehi, 2017) گزارش کردند که تفاوت قابل توجهی در سرعت و شدت گونه‌های مختلف اکسیژن فعال به ویژه دو گونه پراکسید هیدروژن و هیدروکسیل در ارقام مختلف گلایی با سطح تحمل مختلف به بیماری آتشک مشاهده شد. گزارش این

به ویژه گونه *P. ussuriensis* نشانگرهای فوق بیشتر با منشاء ژنوتیپ‌ها و کمتر با ساختار مقاومت به بیماری آتشک در ارتباط باشند (Erfani *et al.*, 2013).

بر این اساس، علاوه بر ارزیابی نشانگرهای مولکولی وابسته به DNA، مقایسه پاسخ‌های مولکولی وابسته به ترانسکریپتوم نیز در پاسخ به حمله عامل بیماری آتشک در گیاهان میزبان نظیر سیب (Sarowar *et al.*, 2011; Baldo *et al.*, 2010) و گلابی (Vrancken *et al.*, 2012) انجام و برخی سازکارها به صورت عمومی و غیردقیق نظیر سنتز اسید سالیسیلیک، فیل پروپانوئیدها و آنزیم‌های درگیر در ساختار دفاع ضد اکسایشی گزارش شده است. بررسی ترانسکریپتومی سلول‌های میزبان در پاسخ به حمله عامل بیماری آتشک اگرچه اطلاعات نسبتاً دقیق تری در رابطه با مسیرهای احتمالی مقاومت به بیماری را آشکار نموده، لیکن این بررسی‌ها نیز قادر به تعیین دقیق سازکار و ساختارهای سلولی مقاومت در بین ارقام و ژنوتیپ‌ها نبوده است.

علاوه بر بررسی‌های انجام شده مبتنی بر نشانگرهای مولکولی وابسته به DNA و واکنش ترانسکریپتومی سلول‌های میزبان در پاسخ به حمله عامل بیماری آتشک، بررسی‌های بیوشیمیائی نشان داده‌اند که اساس ساختار ایجاد بیماری و پیشرفت نکروز در بافت‌های میزبان با بروز یک تنش اکسیداتیو و تولید گونه‌های مختلف اکسیژن فعال همراه است (Venisse *et*

دورقم گلابی، رقم حساس ویلیامز (Williams) با نام معادل بارتلت (Bartlett) (van der Zwet and Keil, 1979) و رقم متحمل هاروسوئیت (Harrow Sweet)، به بیماری آتشک در سال ۱۳۹۷ در آزمایشگاه کشت بافت و بیوتکنولوژی پژوهشکده میوه‌های معتدله و سردسیری، موسسه تحقیقات علوم باغبانی در کرج انجام شد. برای ارزیابی مقاومت در شرایط درون‌شیشه، ارقام فوق به وسیله کشت ریزقلمه در محیط درون‌شیشه مستقر شدند.

به این منظور، این دورقم پس از استقرار در شرایط درون‌شیشه، به محیط QL تغییر یافته براساس روش لبلائی و همکاران (Leblay *et al.*, 1991) با افزایش میزان کلسیم به ۶/۴ میلی‌مول، آمونیوم به ۷/۵ میلی‌مول و نترات به ۳۷/۶ میلی‌مول در مقایسه با QL معمولی (Quoirin and Lepoivre, 2005; Abdollahi *et al.*, 1977) و با نسبت تنظیم‌کننده‌های رشد بهینه‌سازی شده برای گلابی‌های گونه *P. communis* L. براساس روش نورمحمدی و همکاران (Nourmohammadi *et al.*, 2015) شامل یک میلی‌گرم بر لیتر BA، یک میلی‌گرم بر لیتر 2iP (6- $\gamma,\gamma$ -Dimethylallylaminopurine) (Sigma-Aldrich, Catalog No. D5912)، ۰/۱ میلی‌گرم بر لیتر NAA و همچنین یک گرم بر لیتر پکتین مرکبات، منتقل شدند. همچنین مواد گیاهی مورد استفاده با فواصل زمانی شش

پژوهشگران بیانگر دو ساختار متفاوت شامل ساختار اول در رقم مقاوم به بیماری در گزی با تولید بسیار کم پراکسید هیدروژن و تبدیل کم این پیشساز به رادیکال هیدروکسیل و ساختار دوم در رقم متحمل هاروسوئیت با تولید قابل توجه پراکسید هیدروژن به عنوان بازدارنده رشد و توسعه باکتری در بافت‌های میزبان و کاهش تبدیل آن به رادیکال هیدروکسیل است. از یک سو، سازکار واکنش متفاوت دو رقم مقاوم در گزی و متحمل هاروسوئیت در برابر حمله عامل بیماری آتشک، شناخته شده نیست، از سوی دیگر، ارتباط دو منشاء اصلی تولید گونه‌های مختلف اکسیژن فعال یعنی میتوکندری و کلروپلاست و میزان تاثیرگذاری این دو اندامک نیز به طور کامل در این اثر متقابل ناشناخته است.

با توجه به اهمیت شناخت منشاء تنش اکسیداتیو در بروز سطوح متفاوت مقاومت به بیماری آتشک در بافت‌های گیاه میزبان، این پژوهش با هدف ارزیابی مقایسه‌ای اثر دو اندامک میتوکندری و کلروپلاست، با استفاده از بازدارنده‌های زنجیره انتقال الکترون این دو اندامک، بر واکنش دورقم گلابی هاروسوئیت و بارتلت به بیماری آتشک انجام شد.

## مواد و روش‌ها

### مواد گیاهی و جدایه باکتری

این پژوهش به منظور بررسی واکنش

هفته یک بار زیر کشت شدند.

مقایسه و تفکیک میزان تاثیر زنجیره انتقال الکترون کلروپلاست و میتو کندری با استفاده از بازدارنده های هر زنجیره و در نتیجه فعال نگاه داشتن دیگر زنجیره مطابق پروتکل بررسی های فتوسنتزی (Heldt, 2005) و تنفسی (Moller, 2001) انجام شد. برای بازدارنده کلروپلاستی از بازدارنده گلو تار آلد هید و برای بازدارنده میتو کندری از بازدارنده روتون (غیر سمی برای سلول های انسانی) استفاده شد. قبل از انجام آزمایش، با توجه به تاثیر نکرورزائی بازدارنده های زنجیره انتقال الکترون کلروپلاست و میتو کندری و با هدف ایجاد بازدارندگی موثر و همچنین عدم ظهور نکرورز شدید، غلظت بهینه بازدارنده ها در این پژوهش برای حدود ۱۶۸ ساعت (هفت روز) تعیین شد.

برای بهینه سازی غلظت های بازدارنده های زنجیره انتقال الکترون دو اندامک فوق با اضافه کردن میزان هر بازدارنده در غلظت های ۰/۵، ۱، ۵ و ۱۰ میلی گرم بر لیتر همراه با شاهد بدون بازدارنده با استفاده از فیلتر سرنگی ۰/۲ میکرومتر در شرایط سترون به محیط کشت انجام شد. پس از اضافه کردن بازدارنده ها، شاخه چه های درون شیشه از ارقام مورد نظر روی محیط مستقر و طی مدت ۵۰ روز پس از زیر کشت، بروز نکرورز (نکرورز بازدارنده) با هدف ارزیابی میزان تاثیر بازدارنده روی بافت ارقام گلابی و همچنین دوره بدون

نکرورز اولیه ارزیابی شد. در این بررسی از هیچ گونه مایه تلقیح باکتریائی *E. amylovora* استفاده نشد.

پس از تعیین غلظت بهینه بازدارنده های زنجیره انتقال الکترون کلروپلاست و میتو کندری، میزان تاثیر زنجیره انتقال الکترون هر اندامک با استفاده از کشت توام باکتری *E. amylovora* و ارقام میزبان در حضور غلظت های بهینه بازدارنده انجام شد. غلظت های مورد استفاده در این بخش دو غلظت ۵ و ۱۰ میلی گرم بر لیتر به ترتیب برای گلو تار آلد هید و روتون بودند. برای تهیه مایه تلقیح باکتری، سویه Ea273 عامل بیماری (ATCC No. 49946, USA) در محیط کشت لوریا-برتانی (LB) مایع، شب گذران شد. مایه زنی مواد گیاهی درون شیشه، بر اساس روش عبداللهی و همکاران (Abdollahi et al., 2004) انجام شد. غلظت مایه تلقیح مورد استفاده در بافر فسفات خنثی (pH برابر ۷) اتوکلاو و روی کدورت دو (OD=2)، به منظور به حداقل رساندن احتمال فرار سرشاخه ها از آلودگی، تنظیم گردید.

برای کشت توام میزبان-باکتری، ۷۵ میکرو لیتر مایه تلقیح باکتری به لوله آزمایش حاوی محیط کشت QL اضافه شد و سپس ریز شاخه چه های سه تا چهار سانتی متری که دارای طول میانگرمه های یکنواختی بودند، در محیط مستقر شدند. مقایسه سرعت پیشرفت

نکروز براساس شاخص درصد طول شاخه چه نکروزه به طول کل شاخه چه در بازه زمانی پس از آلوده سازی براساس حداکثر زمان مورد نیاز برای رسیدن نکروز به ۱۰۰ درصد در شاخه چه های هر دو رقم گلابی و با فواصل زمانی ۲۴ ساعت انجام شد.

کلیه آزمایش ها در پنج تکرار انجام شد. محاسبات آماری و رسم نمودارها با استفاده از نرم افزار اکسل (Microsoft Excel-USA, 2007) انجام گردید.

## نتایج و بحث

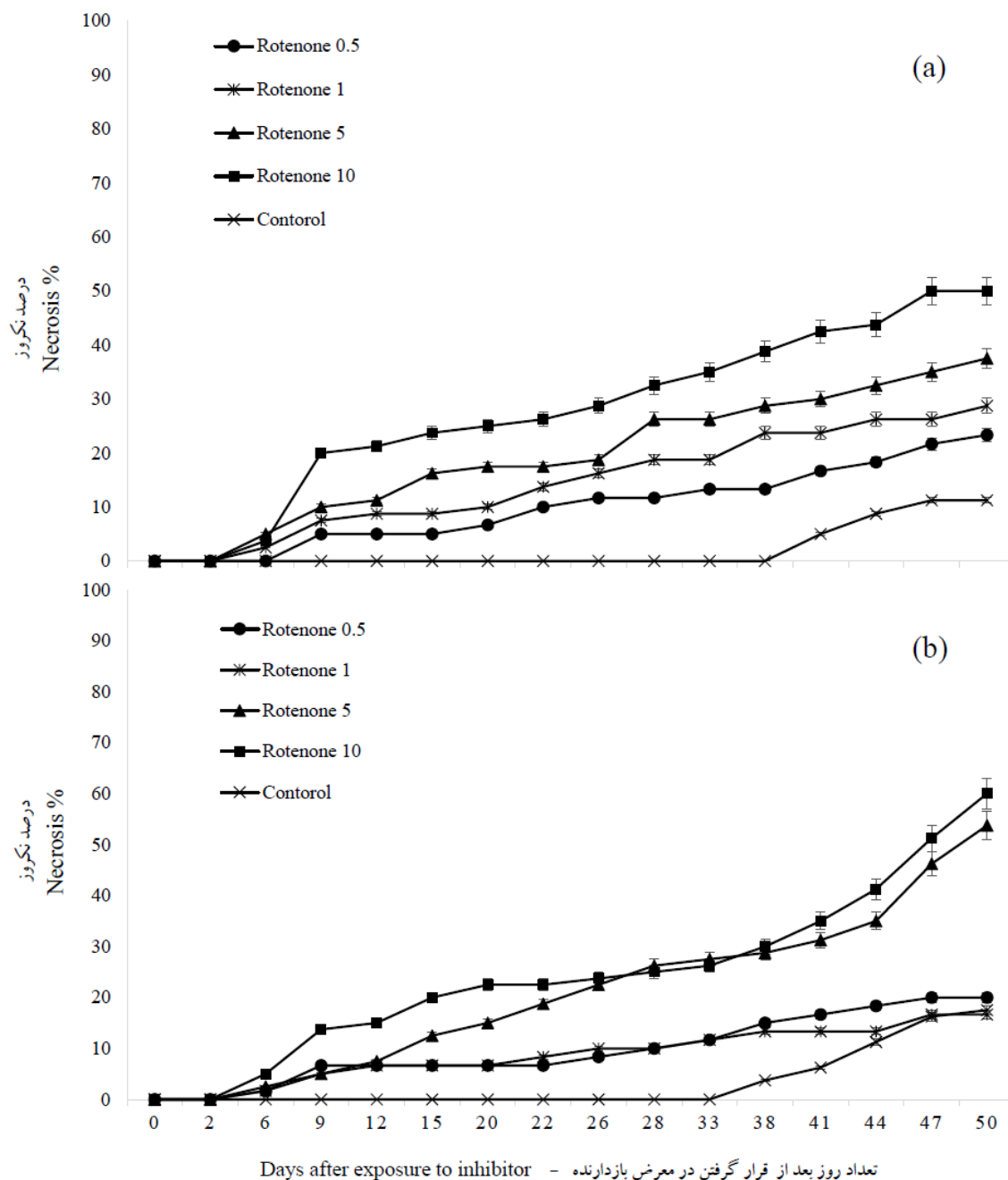
نتایج حاصل از این پژوهش بیانگر تاثیر مثبت بازدارنده های زنجیره انتقال الکترون کلروپلاست و میتوکنندری در ایجاد نکروز در بافت ارقام گلابی هاروسویت و بارتلت بود. بروز نکروز بستگی به غلظت مواد بازدارنده و مدت زمان حضور سرشاخه در محیط حاوی بازدارنده داشت. بنابراین نتایج پژوهش در دو بخش شامل: تعیین میزان بهینه بازدارنده های زنجیره انتقال الکترون کلروپلاست و میتوکنندری و تاثیر هر اندامک و بازدارندگی آن روی ظهور و پیشرفت علائم نکروز باکتری *E. amylovora* ارائه شده است.

### میزان بهینه بازدارنده ها

در شرایط استفاده از بازدارنده روتون به عنوان بازدارنده زنجیره انتقال الکترون میتوکنندری، نکروز حاصل از این بازدارنده پس از ۴۸ ساعت

(دو روز) از استقرار بر روی سرشاخه های هر دو رقم گلابی هاروسویت و بارتلت مشاهده شد (شکل ۱). با افزایش غلظت بازدارنده از ۰/۵ به ۱۰ میلی گرم بر لیتر، سرعت افزایش نکروز سرشاخه های هر دو رقم تا حدی افزایش یافت. میزان نکروز نهائی در اثر استفاده از این بازدارنده در غلظت ۱۰ میلی گرم بر لیتر در رقم هاروسویت حدود ۵۰ درصد و در رقم بارتلت حدود ۷۰ درصد بود (شکل ۱). از سوی دیگر در شرایط عدم حضور بازدارنده زنجیره انتقال الکترون میتوکنندری هیچگونه علائم نکروزی پس از گذشت ۳۳ روز در رقم هاروسویت و ۳۸ روز در رقم بارتلت مشاهده نشد (شکل ۱). عدم بروز علائم نکروز طی این مدت در شرایط بدون بازدارنده و برعکس بروز نکروز در شرایط حضور بازدارنده، بیانگر تاثیر مثبت آن در ایجاد بازدارندگی زنجیره انتقال الکترون میتوکنندریایی بود.

بروز نکروز کمتر از ۱۰ درصد مشاهده شده، در شرایط بدون بازدارنده، در شرایط کشت درون شیشه ارقام گلابی پس از حدود ۳۰ روز طبیعی و در بررسی های قبلی نیز بروز درصد ناچیزی از نکروز در بخش های مریستمی سرشاخه های این گونه گزارش شده است (Abdollahi et al., 2005). در بررسی دیگری روی گونه گلابی معمولی، حذف ساکاروز از محیط کشت که با هدف فعال سازی زنجیره انتقال الکترون کلروپلاست (Abdollahi et al., 2017) مورد استفاده قرار گرفت، نیز تا حدودی



شکل ۱- میانگین زمان ظهور و روند پیشرفت نکروز در شاخه‌چه‌های درون شیشه گلابی رقم هاروسویت (a) و بارتلت (b) پس از قرار گرفتن در معرض غلظت‌های مختلف بازدارنده زنجیره انتقال الکترون میتوکندریایی روتونون (غلظت‌ها میلی گرم بر لیتر می باشند). نوارهای خطا اشتباه استاندارد میانگین‌ها را نشان می دهند

Fig. 1. Mean of appearance time and the trend of necrosis progress in *in vitro* shootlets of pear cv. Harrow Sweet (a) and cv. Bartlett (b) after exposure to different concentrations of mitochondrial electron transport chain inhibitor rotenone (concentrations are  $\text{mg l}^{-1}$ ). The error bars represent standard error of the means

گذشت بیش از ۳۰ روز هیچ گونه علائم نکروز در دو رقم گلابی مورد بررسی مشاهده نشد (شکل ۲).

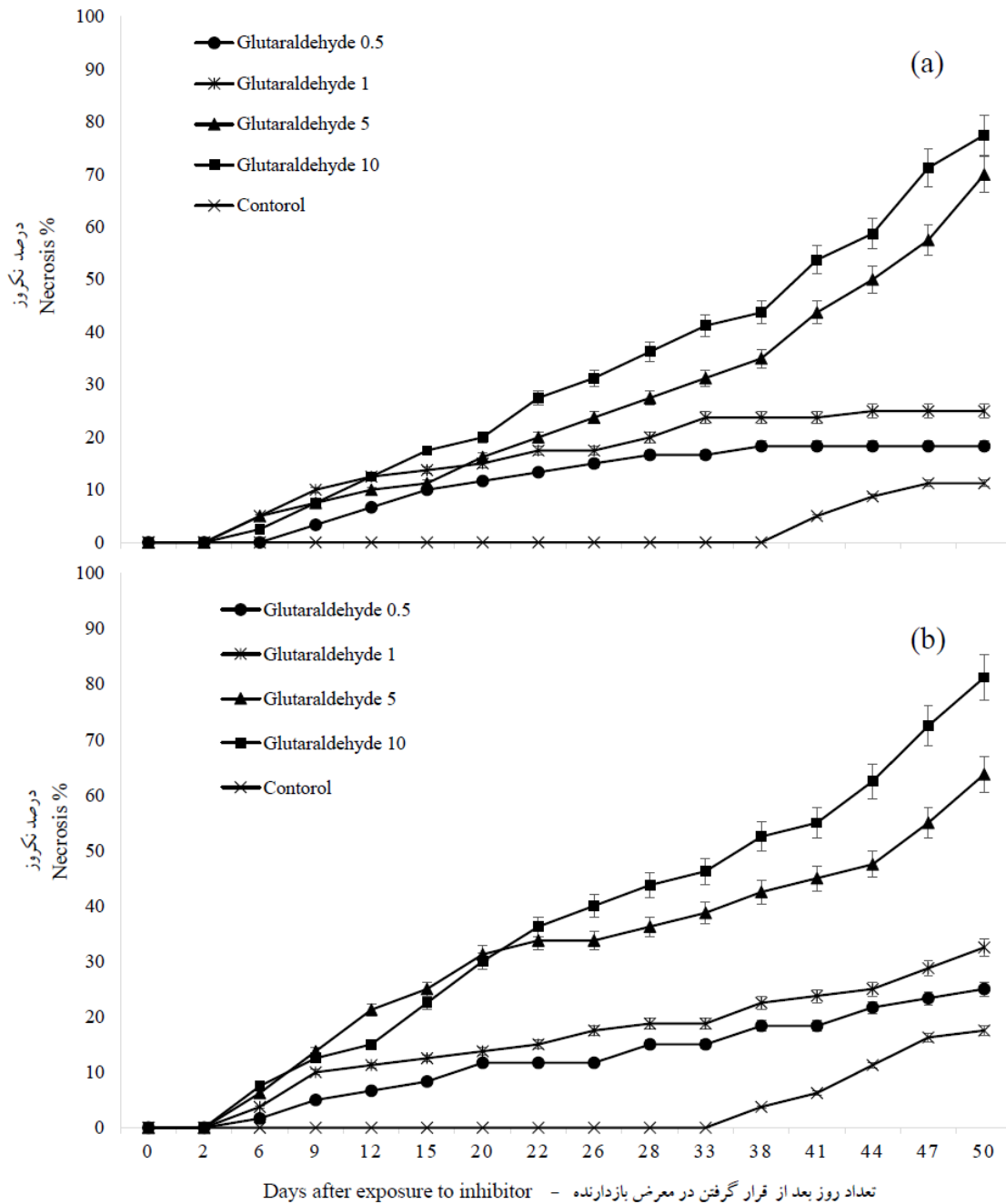
عدم بروز علائم نکروز طی این مدت در شرایط بدون بازدارنده و برعکس بروز نکروز سریع در شرایط حضور بازدارنده گلو تار آلد هید بیانگر تاثیر مثبت آن در ایجاد بازدارندگی زنجیره انتقال الکترون کلروپلاست است. این نتیجه با نتایج عبد اللهی و همکاران (Abdollahi et al., 2017) در رابطه با گونه سیب مطابقت دارد. کلیه غلظت های گلو تار آلد هید، طی حدود ۱۶۸ ساعت اولیه، میزان نکروز ناچیزی داشتند. بنابراین در آزمایشات بعدی برای کشت توام باکتری *E. amylovora* با ارقام گلابی، کلیه غلظت های ۱۰ و ۵ میلی گرم بر لیتر آن که بالاترین میزان بازدارندگی را نیز به همراه داشت، استفاده شد.

نتایج آزمایشات استفاده توام از دو بازدارنده زنجیره انتقال الکترون کلروپلاست و میتو کندی (گلو تار آلد هید و روتون)، همانند شرایط قبل بود، لیکن در این حالت با توجه به بازدارندگی توام دو زنجیره کلروپلاست و میتو کندی، سرعت پیشرفت نکروز افزایش و در رقم هاروسوئیت در غلظت ۱۰ میلی گرم بر لیتر هر دو بازدارنده به ۹۰ درصد و در رقم بارتلت به ۱۰۰ درصد رسید (شکل ۳). در غلظت های توام گلو تار آلد هید و روتون، طی حدود ۱۶۸ ساعت اولیه، نیز میزان نکروز

نکروز سرشاخه های گلابی و به ویژه سیب را در شرایط درون شیشه افزایش داد (داده های منتشر نشده). در کلیه غلظت های روتون مورد استفاده، طی حدود ۱۶۸ ساعت اولیه، نیز میزان نکروز ناچیزی مشاهده شد، بنابراین در آزمایشات بعدی برای کشت توام باکتری *E. amylovora* با ارقام گلابی، کلیه غلظت های روتون و به ویژه غلظت های ۵ و ۱۰ میلی گرم بر لیتر آن که بالاترین میزان بازدارندگی را به همراه داشت، استفاده شد.

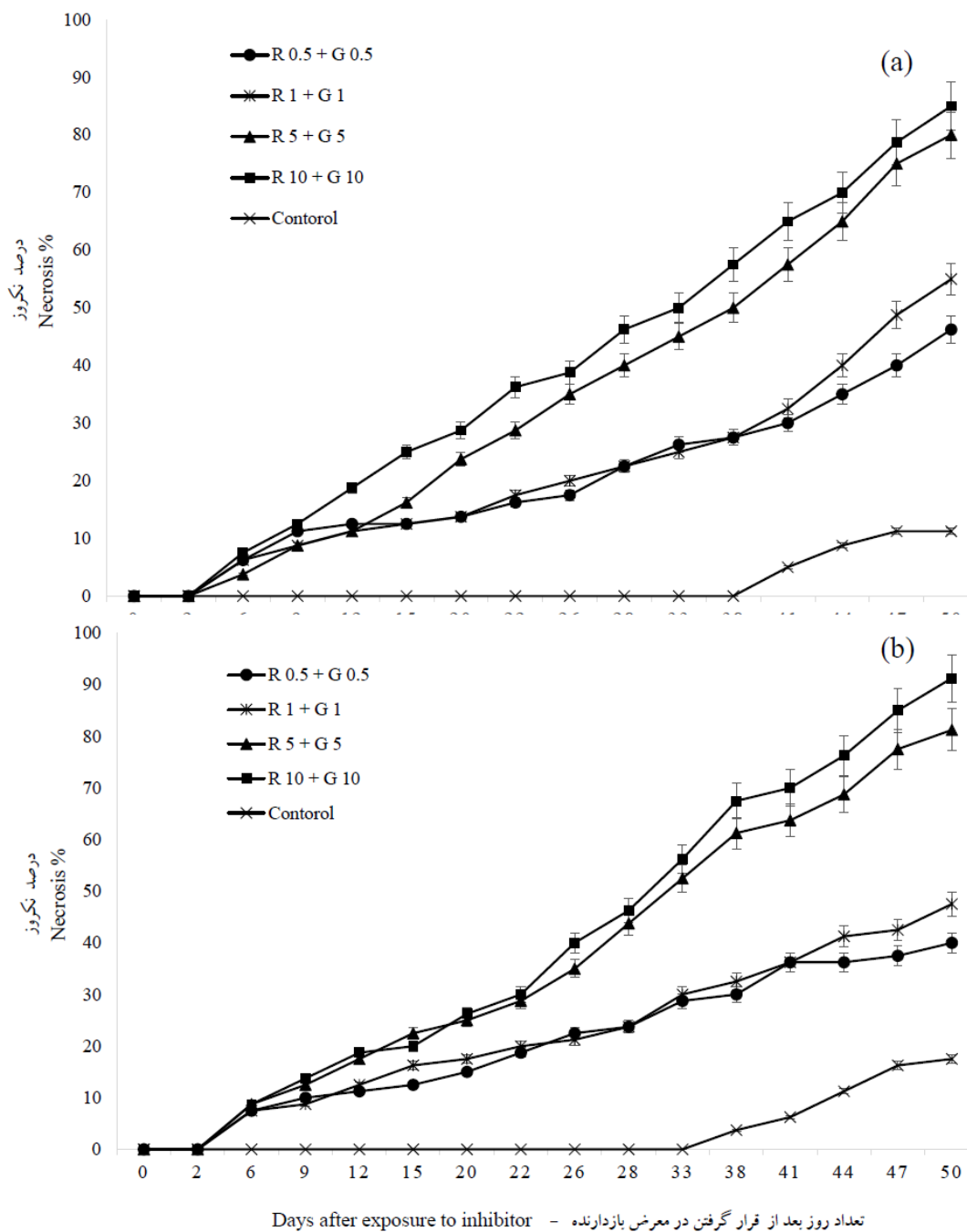
استفاده از گلو تار آلد هید به عنوان بازدارنده زنجیره انتقال الکترون کلروپلاست نشان داد که نتایج تا حد زیادی شبیه به کاربرد روتون بود. در این شرایط، نکروز حاصل از این بازدارنده ۴۸ ساعت پس از استقرار بر روی سرشاخه های هر دو رقم مشاهده شد (شکل ۲). همچنین با افزایش غلظت بازدارنده گلو تار آلد هید از ۰/۵ به ۱۰ میلی گرم بر لیتر، سرعت پیشرفت نکروز بر روی سرشاخه های هر دو رقم افزایش یافت. میزان نکروز نهائی در اثر استفاده از این بازدارنده در غلظت ۱۰ میلی گرم بر لیتر در رقم هاروسوئیت حدود ۸۰ درصد و در رقم بارتلت حدود ۹۰ درصد بود (شکل ۲). این موضوع تاثیر نسبتاً بیشتر گلو تار آلد هید در مقایسه با روتون را در بازدارندگی نشان می دهد. براساس نتایج این پژوهش، در شرایط عدم حضور بازدارنده زنجیره انتقال الکترون کلروپلاستی، با





شکل ۲- میانگین زمان ظهور و روند پیشرفت نکروز در شاخه‌چه‌های درون شیشه گلابی رقم هاروسوئیت (a) و بارتلت (b) پس از قرار گرفتن در معرض غلظت‌های مختلف بازدارنده زنجیره انتقال الکترون کلروپلاستی گلو تار آلدئید (غلظت‌ها میلی گرم بر لیتر می باشند). نوارهای خط اشتباه استاندارد میانگین‌ها را نشان می دهند

Fig. 2. Mean of appearance time and the trend of necrosis progress in *in vitro* shootlets of pear cv. Harrow Sweet (a) and cv. Bartlett (b) after exposure to different concentrations of chloroplastic electron transport chain inhibitor glutaraldehyde (concentration are mg l<sup>-1</sup>). The error bars represent standard error of the means



شکل ۳- میانگین زمان ظهور و روند پیشرفت نکروز در شاخه‌چه‌های درون شیشه گلابی رقم هاروسویت (a) و بارتلت (b) پس از قرار گرفتن در معرض غلظت‌های توام بازدارنده‌های زنجیره انتقال الکترون میتوکندریائی روتنون (R) کلروپلاستی گلو تارآلدئید (G) (غلظت‌ها میلی گرم بر لیتر می باشند). نوارهای خطا اشتباه استاندارد میانگین‌ها را نشان می دهند

Fig. 3. Mean of appearance time and the trend of necrosis progress in *in vitro* shootlets of pear cv. Harrow Sweet (a) and cv. Bartlett (b) after exposure to different concentrations of both electron transport chain inhibitors of mitochondrial rotenone (R) and chloroplastic glutaraldehyde (concentrations are  $\text{mg l}^{-1}$ ). The error bars represent standard error of the means

با دو سطح متفاوت تحمل به بیماری آتشک در شرایط درون شیشه، سبب ظهور اولین علائم نکروز پس از گذشت ۴۸ ساعت در رقم حساس بارتلت و ۷۲ ساعت در رقم متحمل هاروسوئیت شد (شکل ۵). همچنین سرعت پیشرفت علائم نکروز در رقم حساس سریع‌تر و در رقم متحمل کندتر بود. این نتایج با گزارشات متعدد قبلی مبنی بر وجود صرفاً تفاوت در سرعت پیشرفت نکروز در بین ارقام متحمل، حساس و حتی مقاوم به بیماری در گلابی (Abdollahi *et al.*, 2004; Abdollahi and Salehi, 2017) مطابقت دارد.

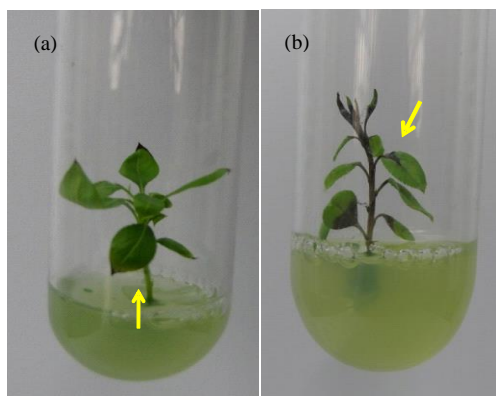
بر خلاف شرایط درون شیشه که به دلیل عدم وجود بافت‌های چوبی، تفاوت در سرعت پیشرفت نکروز عامل تمایز ارقام متحمل و مقاوم به بیماری است، در شرایط ارزیابی گلخانه‌ای و باغی، پیشرفت نکروز و زمان توقف آن پس از تلقیح، عامل شناسایی سطح تحمل ارقام به بیماری آتشک محسوب می‌شود (van der Zwet and Keil, 1979; Erfani *et al.*, 2013). در شرایط استفاده از شاهد آب مقطر، هیچگونه علائم نکروزی روی شاخه‌چه‌های هر دو رقم گلابی حتی پس از گذشت ۳۳۶ ساعت از تلقیح مشاهده نشد (شکل ۵). نکروز ناشی از باکتری عامل بیماری بر روی شاخه‌چه‌ها آغاز و پیشرفت کرد، بنابراین همانطور که انتظار می‌رفت احتمال تداخل بین نکروز بازدارنده و نکروز باکتری در این آزمایش طی مدت کشت توام باکتری و میزبان وجود نداشت.

ناچیزی بروز کرد. بنابراین در آزمایشات بعدی برای کشت توام باکتری *E. amylovora* با ارقام گلابی، کلیه غلظت‌های توام این بازدارنده و به‌ویژه غلظت‌های ۵ و ۱۰ میلی‌گرم بر لیتر آنها انتخاب و مورد استفاده قرار گرفت.

از سوی دیگر نکروز ناچیز، در حدود ۱۰ درصد، که طی روزهای اولیه استقرار بر روی شاخه‌چه‌های درون شیشه ارقام گلابی مشاهده شد، کاملاً متعلق به بخش‌های برگ بود و هیچگونه نکروز ساقه‌چه طی حدود ۱۶۸ ساعت اولیه و حتی بیشتر مشاهده نشد. این در حالی است که براساس مشاهدات قبلی، پیشرفت نکروز باکتری در ساقه‌چه‌ها بود و نکروز برگ‌گی در شرایط کشت توام باکتری با گیاه میزبان بروز نکرد (Abdollahi *et al.*, 2004). این نکته از این جهت داری اهمیت است که وجود بافت‌های متفاوت برای بروز نکروز اولیه حاصل از بازدارنده و باکتری طی ساعات اول، سبب تداخل نکروز ناچیز و اندک مشاهده شده طی روزهای اولیه نخواهد شد. بنابراین غلظت‌های ۵ و ۱۰ میلی‌گرم بر لیتر بازدارنده‌ها بدون احتمال بروز تداخل کمترین میزان نکروز برای آزمایش‌های کشت توام استفاده شد.

### نکروز باکتری

نکروز ناشی از باکتری از قاعده شاخه‌چه‌های درون شیشه آغاز شد که با محل آغازش نکروز حاصل از استفاده از بازدارنده‌های زنجیره انتقال الکترون کلروپلاستی و میتوکندریائی کاملاً متفاوت بود (شکل ۴). استفاده از باکتری *E. amylovora* در کشت توام با دو رقم گلابی،

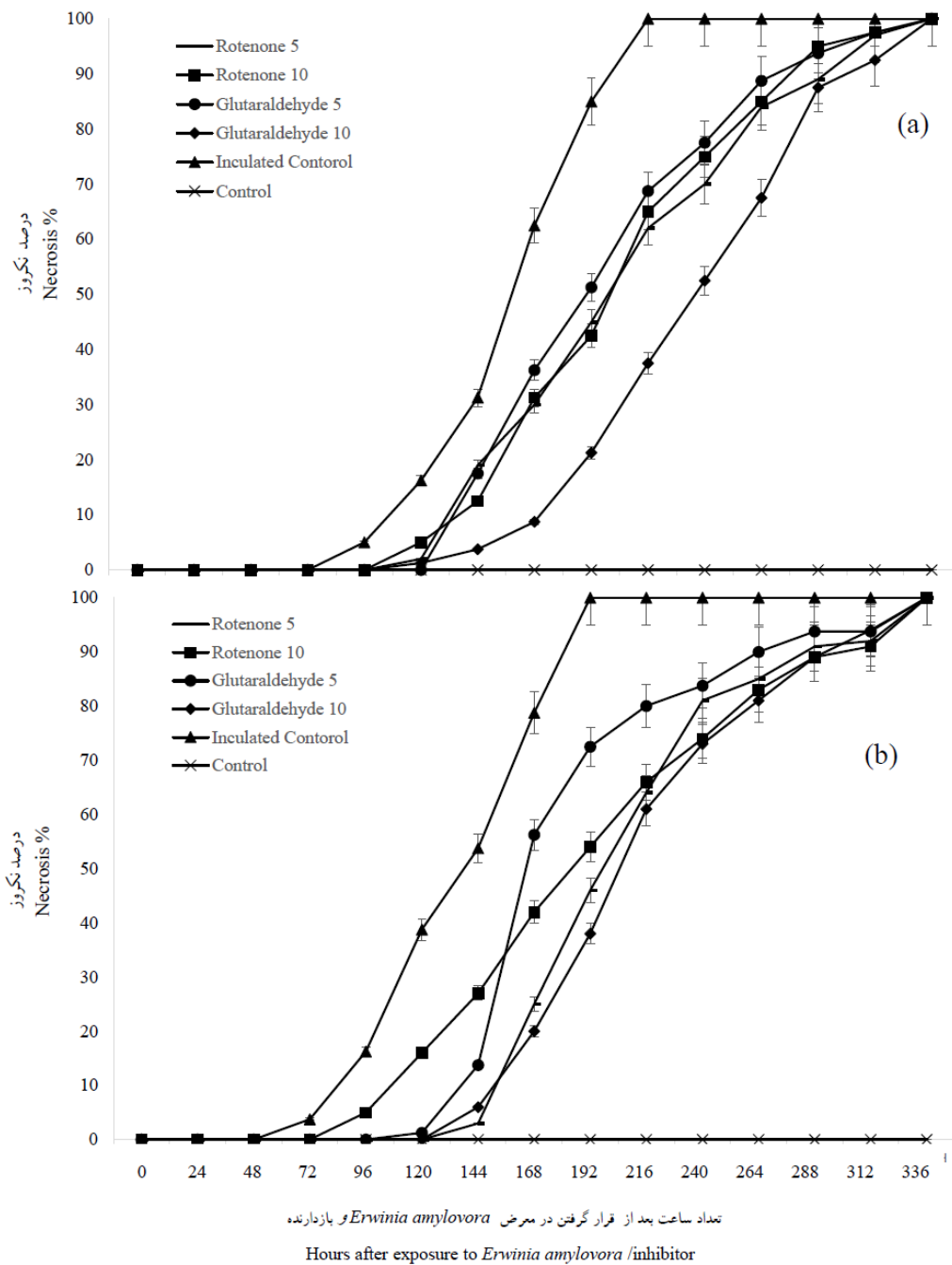


شکل ۴- مقایسه (a): نقطه آغازش نکروز در نوک برگ شاخه‌چه‌های درون شیشه گلابی رقم بارتلت ناشی از افزودن بازدارنده زنجیره انتقال الکترونی کلروپلاستی گلو تار آلدئید و (b): محل آغازش نکروز باکتری *Erwinia amylovora* در قاعده شاخه‌چه و دمبرگ‌های درون شیشه همان رقم گلابی

Fig. 4. Comparison of (a): initiation necrosis point in apex of leaflets of *in vitro* shootlets of pears cv. Bartlett caused by exposure to the glutaraldehyde as chloroplasts electron transport chain inhibitor and (b): initiation necrosis point in base of *in vitro* shootlets and leaflets of the same cultivar caused by *Erwinia amylovora*

از ۳۰ درصد و در همین غلظت گلو تار آلدئید حدود ۷۰ درصد بود (شکل ۵). گرچه هر دو غلظت روتون سبب تاخیر در پیشرفت علائم بیماری در رقم هاروسوئیت شدند، ولی بین دو غلظت این بازدارنده تفاوت قابل توجهی مشاهده نشد. در رابطه با رقم حساس بارتلت نیز گرچه روند عمومی نتایج با رقم هاروسوئیت مشابه بود، ولی با توجه به حساسیت بیشتر این رقم به بیماری، در کلیه شرایط استفاده از بازدارنده‌های زنجیره انتقال الکترون میتو کندریائی روتون و کلروپلاستی گلو تار آلدئید و در هر دو غلظت ۵ و ۱۰ میلی گرم بر لیتر، سرعت پیشرفت نکروز حدود ۲۴ ساعت نسبت به رقم هاروسوئیت زودتر اتفاق افتاد (شکل ۵). در این رقم نیز در رابطه با تاخیر در بروز علائم نکروز روی سرشاخه‌ها بین دو غلظت بازدارنده روتون تفاوت قابل توجهی مشاهده نشد.

استفاده از بازدارنده‌های زنجیره انتقال الکترون میتو کندریائی روتون و کلروپلاستی گلو تار آلدئید در هر دو غلظت ۵ و ۱۰ میلی گرم بر لیتر، تاخیر در زمان اولیه ظهور اولین علائم نکروز و همچنین کاهش در سرعت پیشرفت نکروز در شاخه‌های درون شیشه هر دو رقم گلابی حساس و متحمل را به همراه داشت (شکل ۵). همچنین مقایسه اثر دو بازدارنده روتون و گلو تار آلدئید در رقم هاروسوئیت، بیانگر بیشترین تاثیر بازدارنده گلو تار آلدئید در غلظت ۱۰ میلی گرم بر لیتر در کاهش علائم بود. در حالی که در این رقم، همین میزان روتون تاثیر کمتری در کاهش علائم نکروز به همراه داشت (شکل ۵). براساس نتایج این پژوهش، پس از گذشت ۲۱۶ ساعت از تلقیح رقم هاروسوئیت، میزان نکروز در غلظت ۱۰ میلی گرم بر لیتر روتون کمتر



شکل ۵- میانگین زمان ظهور و روند پیشرفت نکروز در شاخه‌چه‌های درون شیشه گلابی رقم هاروسوئیت (a) و بارتلت (b) پس از آلوده‌سازی با باکتری *Erwinia amylovora* و قرار گرفتن در معرض غلظت‌های بازدارنده‌های زنجیره انتقال الکترون میتوکندریائی روتنون و کلروپلاستی گلو تار آلدهید (غلظت‌ها میلی گرم بر لیتر می باشند). (نوار خط‌ها اشتباه استاندارد میانگین‌ها را نشان می دهند)

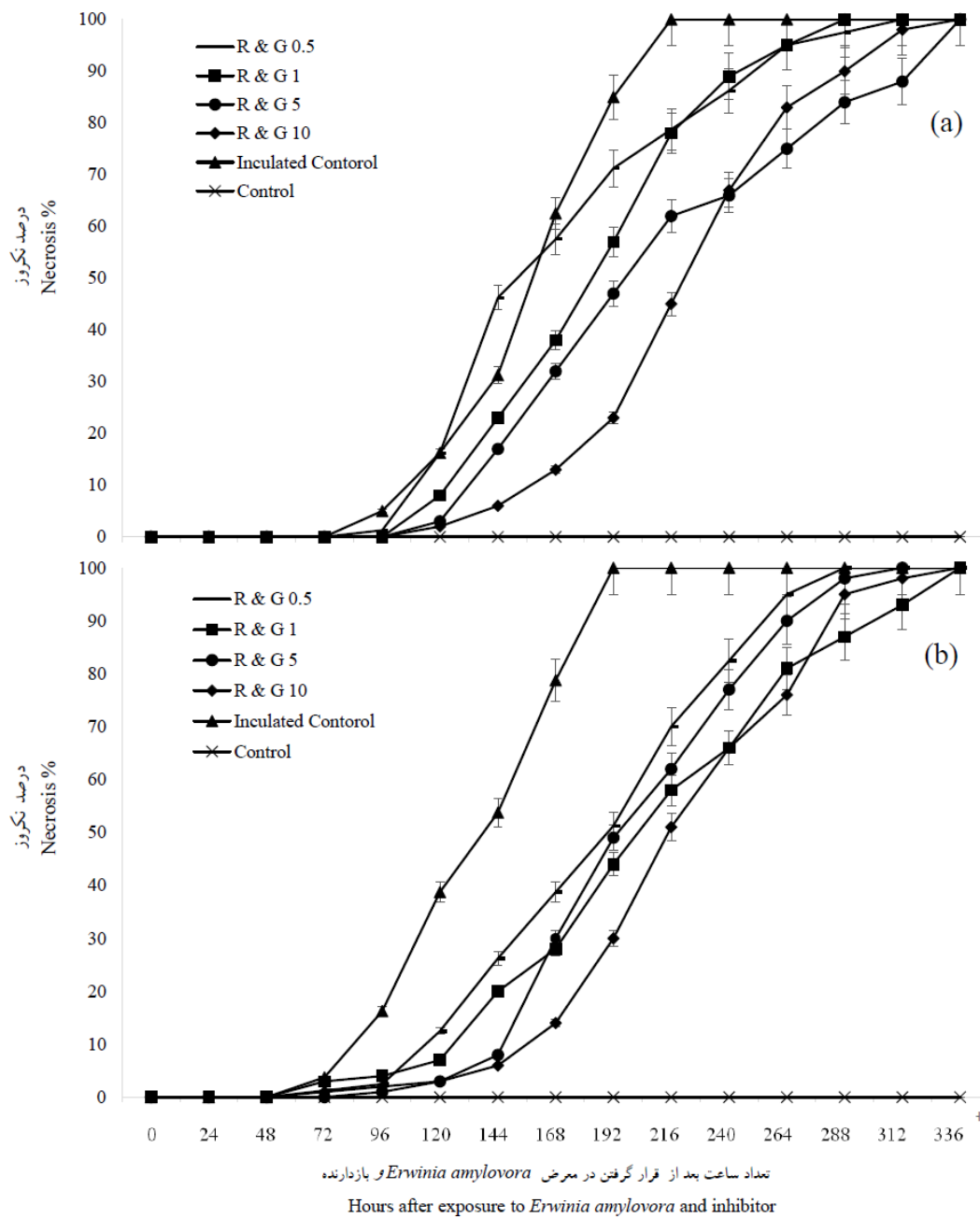
Fig. 5. Mean of appearance time and the trend of necrosis progress in *in vitro* shootlets of pear cv. Harrow Sweet (a) and cv. Bartlett (b) after inoculation with *Erwinia amylovora* and exposure to concentrations of inhibitors of electron transport chain of chloroplastic glutaraldehyde and mitochondrial rotenone (concentrations are in  $\text{mg l}^{-1}$ ). The error bars represent standard error of means

در شرایط بازدارندگی تقریباً یکسان (غلطت ۱۰ میلی گرم بر لیتر)، میزان تاثیر بازدارنده زنجیره انتقال الکترون کلروپلاستی گلو تار آلدهید در تنش اکسیداتیو حاصل از بیماری آتشک در هر دو رقم گلابی حساس به بیماری (بارتلت) و متحمل به بیماری (هاروسوئیت) در مقایسه با زنجیره انتقال الکترون میتو کندریائی روتنون بیشتر بود (شکل ۵).

بنابراین بر اساس این بخش از نتایج به نظر می رسد میزان تاثیر زنجیره انتقال الکترون کلروپلاست در مقایسه با شرایط استفاده توام از دو بازدارنده زنجیره انتقال الکترون میتو کندریائی روتنون و کلروپلاستی گلو تار آلدهید نیز موید تاثیر بیشتر زنجیره انتقال الکترون کلروپلاستی در تنش اکسیداتیو ناشی از بیماری بود و به نظر نمی رسد بازدارندگی هر دو زنجیره، به صورت توام، نقش هم افزائی در کاهش شدت تنش اکسیداتیو ناشی از بیماری در دو رقم حساس و متحمل به بیماری داشت (شکل ۶). علاوه بر این، در رقم حساس بارتلت، در شرایط استفاده از بازدارنده زنجیره انتقال الکترون میتو کندریائی روتنون، میزان نزدیکی سرعت پیشرفت علائم نکروز به شرایط استفاده از بازدارنده زنجیره انتقال الکترون کلروپلاستی گلو تار آلدهید بیشتر بود (شکل ۵ و ۶). این نتایج می تواند شواهدی اولیه و مقدماتی مبنی بر نقش موثرتر اندامک کلروپلاست در تحمل به بیماری آتشک در رقم متحمل هاروسوئیت باشد.

تاخیر در بروز علائم نکروز بیماری آتشک در شرایط استفاده از بازدارنده زنجیره انتقال الکترون کلروپلاستی گلو تار آلدهید با گزارشات قبلی در این خصوص مطابقت دارد، و استفاده از طیف گسترده ای از بازدارنده های این زنجیره علاوه بر گلو تار آلدهید، شامل متیل ویولوژن، اوراسیل و DCMU، سبب تاخیر در بروز علائم نکروز با کاهش شدت و سرعت تنش اکسیداتیو حاصل از باکتری *E. amylovora* می شوند (Abdollahi *et al.*, 2015). این تاخیر در بروز تنش اکسیداتیو با استفاده از بازدارنده های زنجیره انتقال الکترون کلروپلاستی به عنوان شاهد، ثابت کننده نقش این زنجیره در اثر متقابل بین پروتئین های موثر باکتری عامل بیماری و کلروپلاست های میزبان گزارش شده است. علاوه بر این، مطالعات انجام شده توسط طاهری شهرستانی و همکاران (Taheri Shahrestani *et al.*, 2017a; Taheri Shahrestani *et al.*, 2017b) با استفاده از سویه های موتانت باکتری *E. amylovora* شامل موتانت های  $hrpN^-$  و  $dspA/E^-$  و  $hrpW^-$  شواهد دقیق تری مبنی بر احتمال اثر متقابل پروتئین موثر HrpN با کلروپلاست های میزبان را ارائه کرده است. شواهد اولیه مبنی بر نقش روتنون در تاخیر در بروز علائم نکروز بیماری آتشک توسط آذرآبادی و همکاران (Azarabdi *et al.*, 2014) ارائه شد.

نتایج پژوهش حاضر نشان می دهد که



شکل ۶- میانگین زمان ظهور و روند پیشرفت نکروز در شاخه‌چه‌های درون شیشه گلابی رقم هاروسوئیت (a) و بارتلت (b) پس از آلوده‌سازی با باکتری *Erwinia amylovora* و قرار گرفتن در معرض غلظت‌های توام بازدارنده‌های زنجیره انتقال الکترون میتوکندریائی روتنون (R) و کلروپلاستی گلووتارآلدئید (G) (غلظت‌ها میلی گرم بر لیتر می باشند). نوارهای خطا اشتباه استاندارد میانگین‌ها را نشان می دهند

Fig. 6. Mean of appearance time and the trend of necrosis progress in *in vitro* shootlets of pear cv. Harrow Sweet (a) and cv. Bartlett (b) after inoculation with *Erwinia amylovora* and exposure to concentrations of both inhibitors of electron transport chain of chloroplatic glutaraldehyde (G) and mitochondrial rotenone (R) (concentrations are in  $\text{mg l}^{-1}$ ). The error bars represent standard error of means

آوردن امکان مطالعات درون شیشه‌ای برای بررسی تاثیر عوامل و تنش‌های مختلف نظیر بیماری آتشک روی دو اندامک مذکور می‌باشد. این در حالی است که با توجه به آثار سمی و مخرب‌تر استفاده از این مواد، در شرایط گلخانه‌ای و یا باغی، امکان انجام چنین ارزیابی‌هایی در محیط *In vivo* دشوار و یا غیرممکن است. بنابراین با استفاده از غلظت‌های بهینه‌شده‌ی گلو تار آلدهید و روتنون سهم دو اندامک کلروپلاست و میتوکندری در تنش اکسیداتیو، براساس شاخص نکروز، مورد مقایسه قرار گرفت. نتایج نشان داد که سرعت پیشرفت نکروز در شاخه‌های درون شیشه‌ای هر دو رقم حساس و متحمل گلابی کاهش یافت. ولی بازدارنده گلو تار آلدهید تاثیر بیشتری در کاهش علائم نکروز به همراه داشت.

تاخیر بیشتر در زمان بروز علائم نکروز بیماری در شرایط کاربرد بازدارنده زنجیره انتقال الکترون کلروپلاستی به عنوان شاهد، ثابت کننده نقش این زنجیره در اثر متقابل بین پروتئین‌های موثر باکتری عامل بیماری و کلروپلاست‌های میزبان بود و مقایسه آن با اثر روتنون نشان داد که میزان تاثیر زنجیره انتقال الکترون کلروپلاستی تا اندازه‌ای از تاثیر زنجیره انتقال الکترون میتوکندریایی بیشتر بود. علاوه بر این، در رقم حساس بارتلت میزان نزدیکی سرعت پیشرفت علائم نکروز در شرایط استفاده از بازدارنده زنجیره انتقال الکترون میتوکندریایی در

براساس این نتایج و همچنین استفاده از گزارشات قبلی مبنی بر نقش تحریک‌کنندگی سیستم دفاع اکتسابی توسط پروتئین موثر HrpN باکتری *E. amylovora* (Oh and Beer, 2005) و تاثیر احتمالی آن بر کلروپلاست‌ها (Taheri Shahrestani *et al.*, 2017a; Taheri Shahrestani *et al.*, 2017b) می‌توان این احتمال را بیان کرد که پروتئین موثر HrpN باکتری با تاثیر بیشتر و موثرتر بر زنجیره انتقال الکترون کلروپلاستی در کلروپلاست ارقام متحمل می‌تواند نقش تحریک‌کنندگی سامانه دفاع اکتسابی را در این ارقام ایفا و سبب بروز ساختارهای دفاعی این اندامک به نحو مطلوب‌تری در مقایسه با رقم حساس بارتلت شود. علاوه بر این در بررسی‌های قبلی، ساختار مقاومت در گلابی رقم مقاوم در گزی که با تولید بسیار کم و اندک رادیکال‌های فعال اکسیژن سبب تاخیر در پیشرفت علائم می‌شود (Maleki *et al.*, 2022) همچنان به عنوان نقطه ابهامی در تفسیر این اثر متقابل مطرح است که نیاز به بررسی‌های بیشتری دارد.

### نتیجه‌گیری

نتایج حاصل از این پژوهش در مرحله مقدماتی بیانگر امکان کاربرد بازدارنده‌های زنجیره انتقال الکترون کلروپلاستی گلو تار آلدهید و میتوکندریایی روتنون برای ایجاد بازدارندگی نسبی در زنجیره انتقال الکترون این دو اندامک و در نتیجه فراهم



اصلاح و گزینش ارقام مقاوم به بیماری آتشک درخت گلابی معمولی در پژوهشکده میوه‌های معتدله و سردسیری، موسسه تحقیقات علوم باغبانی (بخش تحقیقات باغبانی سابق - موسسه اصلاح و تهیه نهال و بذر) انجام شد. نگارندگان از زحمات سرکار خانم مهندس زینب صالحی در رابطه با تامین اولیه و نگهداری مواد گیاهی مورد نیاز این پژوهش در شرایط درون شیشه کمال تشکر را دارند.

مقایسه با بازدارنده زنجیره انتقال الکترون کلروپلاستی گلو تار آلدهید، بیشتر بود. این موضوع می‌تواند شواهدی اولیه و مقدماتی مبنی بر نقش موثرتر اندامک کلروپلاست در تحمل به بیماری آتشک در رقم متحمل هاروسویت باشد.

### سپاسگزاری

این پژوهش در قالب برنامه بلند مدت

### References

- Abdollahi, H. 2010.** Pear: Botany, cultivars and rootstocks. Iranian Agricultural Ministry Publications. Tehran, Iran. 210 pp. (in Persian).
- Abdollahi, H., and Salehi, Z. 2017.** Histology of oxidative stress and generation of reactive oxygen species against progress of fire blight causal agent in pear cultivars. Seed and Plant Journal 33-2: 139-162 (in Persian).
- Abdollahi, H., Erfaninia, K., Ghahremani, Z., Nasiri, J., and Salehi, Z. 2017.** Reactivation of electron flow in chloroplasts of *in vitro* shootlets of apple through elimination of carbon source and evaluation of its activity by inhibitors of electron transport chain and chlorophyll fluorescence quenching. Plant Cell, Tissue and Organ Culture 131: 377-389.
- Abdollahi, H., Ghahremani, Z., Erfaninia, K., and Mehrabi, R. 2015.** Role of electron transport chain of chloroplasts in oxidative burst of interaction between *Erwinia amylovora* and host cells. Photosynthesis Research 124: 231-242.
- Abdollahi, H., Muleo, R., and Rugini, E. 2005.** Study of basal growth media, growth regulators and pectin effects on micropropagation of pear (*Pyrus communis* L.) cultivars. Seed and Plant Journal 21: 373-384 (in Persian).
- Abdollahi, H., Ruzzi, M., Rugini, E., and Muleo, R. 2004.** *In vitro* system for studying the interaction between *Erwinia amylovora* and genotypes of pear. Plant Cell, Tissue and Organ Culture 79: 203-212.
- Aldwinckle, H. S., and Preczewski, J. L. 1976.** Reaction of terminal shoots of apple

- cultivars to invasion by *Erwinia amylovora*. *Phytopathology* 66: 1439-1444.
- Azarabadi, S., Abdollahi, H., Torabi, M., and Hassani, M. 2014.** Effects of mitochondrial electron transport inhibitor, on reduction of fire blight (*Erwinia amylovora*) damages in *in vitro* condition. pp. 281. In Proceedings of the 21<sup>th</sup> Iranian Plant Pathology Congress, 23-26 August, Urmieh, Iran. (in Persian).
- Azarabadi, S., Abdollahi, H., Torabi, M., Salehi, Z., and Nasiri, J. 2016.** ROS generation, oxidative burst and dynamic expression profiles of ROS-scavenging enzymes of superoxide dismutase (SOD), catalase (CAT) and ascorbate peroxidase (APX) in response to *Erwinia amylovora* in pear (*Pyrus communis* L). *European Journal of Plant Pathology* 147: 279-294.
- Baldo, A, Norelli, J. L., Farrell, R. E., Bassett, C. L., Aldwinckle, H. S., and Malnoy, M. 2010.** Identification of genes differentially expressed during interaction of resistant and susceptible apple cultivars (*Malus × domestica*) with *Erwinia amylovora*. *BMC Plant Biology* 10: 1. <http://www.biomedcentral.com/1471-2229/10/>.
- Bell, A. C., Ranney, T. G., Eaker, T. A., and Sutton, T. B. 2004.** Resistance to fire blight among flowering pears and quince. *HortScience* 40: 413-415.
- Bhattacharjee, S. 2011.** Sites of generation and physicochemical basis of formation of reactive oxygen species in plant cell. pp. 1-30. In: Dutta Gupta, S. (ed.) *Reactive oxygen species and antioxidants in higher plants*. CRC Press, Boca Raton, Florida, USA.
- Bokszczanin, K., Dondini, L., and Przybyla, A. A. 2009.** First report on the presence of fire blight resistance in linkage group 11 of *Pyrus ussuriensis* Maxim. *Journal of Applied Genetic* 50: 99-104.
- Calenge, F., Drouet, D., Denance, C., Van de Weg, W. E., Brisset, M. N., Paulin, J. P., and Durel, C. E. 2005.** Identification of a major QTL together with several minor additive or epistatic QTLs for resistance to fire blight in apple in two related progenies. *Theoretical and Applied Genetic* 111: 128-135.
- Dondini, L., Pierantoni, L., Gaiotti, F., Chiodini, R., Tartarini, S., Bazzi, C., and Sansavini, S. 2004.** Identifying QTLs for fire-blight resistance via a European pear (*Pyrus communis* L.) genetic linkage map. *Molecular Breeding* 14: 407-418.
- Durel, C. E., Denance, C., and Brisset, M. N. 2009.** Two distinct major QTL for resistance to fire blight in co-localize on linkage group 12 in apple genotypes

- Evereste and *Malus floribunda* clone 821. *Genome* 52: 139-147.
- Erfani, J., Abdollahi, H., Ebadi, A., Fatahi Moghadam, M. R., and Arzani, K. 2013.** Evaluation of fire blight resistance and the related markers in some European and Asian pear cultivars. *Seed and Plant Journal* 29-1: 659-672 (in Persian).
- Heldt, H. W. 2005.** *Plant biochemistry*. Elsevier Academic Press, Burlington. USA. 622 pp.
- Khan, A. M., Durel, C. E., Duffy, B., Drouet, D., Kellerhals, M., Gessler, C., and Patocchi, A. 2007.** Development of molecular markers linked to the 'Fiesta' linkage group 7 major QTL for fire blight resistance and their application for marker-assisted selection. *Genome* 50: 568-577.
- Leblay, C., Chevreau E., and Robin L. M. 1991.** Adventitious shoot regeneration from *in vitro* leaves of several pear cultivar (*Pyrus communis* L.). *Plant Cell, Tissue Organ Culture* 25: 99-105.
- Maleki, R., Abdollahi, H., and Piri, S. 2022.** Variation of active iron and ferritin content in pear cultivars with different levels of pathogen resistance following inoculation with *Erwinia amylovora*. *Journal of Plant Pathology* 104: 281-293.
- Moller, I. M. 2001.** Plant mitochondria and oxidative stress: electron transport, NADPH turnover, and metabolism of reactive oxygen species. *Annual Review of Plant Physiology and Plant Molecular Biology* 52: 561-91.
- Nourmohammadi, N., Abdollahi, H., Moeini, A., and Roohalamin, E. 2015.** Effects of growth media and Fe source on micropropagation and rooting of semi-dwarf pear rootstocks, Pyrodwarf and OH×F87. *Seed and Plant Journal* 31-1: 265-278 (in Persian).
- Oh, C. S., and Beer, S. V. 2005.** Molecular genetics of *Erwinia amylovora* involved in the development of fire blight. *FEMS Microbiology Letters* 253: 185-192.
- Oitto, W. A., van der Zwet, T., and Brooks, H. J. 1970.** Ratings of pear cultivars for resistance to fire blight. *HortScience* 5: 474-476.
- Quoirin, M., and Lepoivre, P. 1977.** Etude de milieux adaptes aux cultures *in vitro* de *Prunus*. *Acta Horticulturae* 78: 437-442.
- Sarowar, S., Zhao, Y., Soria-Guerra, R. E., Ali, S., Zheng, D., Wang, D., and Korban, S. S. 2011.** Expression profiles of differentially regulated genes during the early stages of apple flower infection with *Erwinia amylovora*. *Journal of Experimental Botany* 62: 4851-4861.
- Steiner, P. W. 2000.** Integrated orchard and nursery management for the control of fire

- blight. pp. 339-358. In: Vanneste, J. L. (ed.) Fire blight: The disease and its causative agent, *Erwinia amylovora*. CAB International Press, Wallingford. United Kingdom.
- Taheri Shahrestani, A., Abdollahi, H., Yakhchali, B., Mehrabi, R., and Eini Gandomani, O. 2017a.** Comparison of the effects of *Erwinia amylovora* effector proteins on pear cultivars in active and inactive chloroplastic electron transport chain conditions. *New Genetic* 3: 333-345.
- Taheri Shahrestani, A., Abdollahi, H., Yakhchali, B., Mehrabi, R., and Eini Gandomani, O. 2017b.** Response of pear cultivars to invasion of mutant strains of fire blight causal agent (*Erwinia amylovora*) based on H<sub>2</sub>O<sub>2</sub> generation. *Seed and Plant Journal* 33-1: 315-323 (in Persian).
- Tsiantos, J., and Psallidas, P. 2004.** Fire blight resistance in various loquat, apple and pear cultivars and selection in Greece. *Journal of Plant Pathology* 86: 227-232.
- Van der Zwet, T., and Keil, H. L. 1979.** Fire blight: A bacterial disease of Rosaceous plants. United States Department of Agriculture. Agricultural Handbook No. 510. 650 pp.
- Venisse, J. S., Gullner, G., and Brisset, M. N. 2001.** Evidence for the involvement of an oxidative stress in the initiation of infection of pear by *Erwinia amylovora*. *Plant Physiology* 125: 2164-2172.
- Venisse, J. S., Malony, M., Faize, M., Paulin, J. P., and Brisset, M. N. 2002.** Modulation of defense responses of *Malus* spp. During compatible and incompatible interaction with *Erwinia amylovora*. *Journal of Molecular Plant-Microbe Interaction* 15: 1204-1212.
- Vrancken, K., Schoofs, H., Deckers, T., and Valcke, R. 2012.** Real time qPCR expression analysis of some stress related genes in leaf tissue of *Pyrus communis* cv. Conference after infection with *Erwinia amylovora*. *Trees Structure and Function* 26: 67-73.
- Xie, Z., and Chen, Z. 2000.** Harpin induced hypersensitive cell death is associated with altered mitochondrial functions in tobacco cells. *Molecular Plant-Microbe Interaction* 13: 183-190.